

## 粒子破碎量の表示法について

立命館大学理工学部 正員 福本武明

1 まえがき 粒子破碎量の表示法については前に述べたことがあるが<sup>1)</sup>、本報ではその後あらわれた破碎量も合わせて分類を試みるとともに破碎量間の相関性について言及する。

2 粒子破碎量の分類 破碎前後の粒度変化に準拠して表わされた粒子破碎量には、主として表-1に示すようなものがあり、それそれ研究対象(用途)に応じて考案されたものだけに捨てがたい魅力がある。

表-1 粒子破碎量の種類

人名	考え方の別	表示	分類
多數	ある粒径以下の土粒子の増加量	$B_{\leq D_{10}}$	点系
松尾・沢(1973)	中央径によるもの	$H = 1 - \frac{D_0}{D_{10}}, I = 1 - \frac{D'_0}{D_{10}}$	
森、Marsel(1965)	残留率の差の絶対値の合計	$B_M$	面系
多數	均等係数によるもの	$(U'/U)$	
吉越(1970)	粒度加積曲線の面積	$A$	面系
筆者(1971)	粒度面積に基づくもの	$S.I., (S'_w/S_w)$	
高野・細田・佐伯(1974)	粒度加積曲線の移動量	$T_B$	点-面系
北郷・神谷(1973)	各粒径における加積過剰率の合計	$G.N.$ (Gradation number)	

それらを試みに幾何学的観点から分類したのが、表中の最右欄である。つまり、粒度加積曲線上で、点の移動として表現しようとするもの、均等係数のように勾配の変化で示すとするもの、图形の面積を用いるもの、そして、これらの折衷型とに分けられる。このうち、 $B_M$  が点系に属するのは既報<sup>1)</sup>に述べた理由からであり、筆者の S.I. と面系に入れたのは、

根柢は希薄だが、実用上、面積  $A$  と相関性がきわめてよく(図-2 ①)、S.I. の広い範囲にわたって比例関係にあると判断されるからである。

他方、 $T_B$  と G.N. については、つきの理由から点一面系と称した。すなわち、 $T_B$  の計算式を変形すると、 $T_B = -[(S/10) + (\log D_{10} - \log D'_0)/2]$  ① となり(図-1 参照)、また G.N. を使用フルイのフルイ比を  $1/2$  と仮定すると、 $G.N. = [(A/\log 2) + (f_n' - f_n)/2]$  ② となり(図-1 参照)、いずれも面系と点系の要素から構成されています。

## 3 破碎量間の相関性

図-2 ④～⑥は、表-1 に示した各破碎量間の相関性を、森(締固め、火山レキ)、吉越(大型三軸、ロック材)、および筆者(

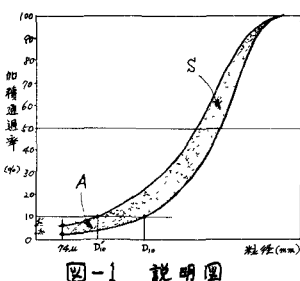


図-1 説明図

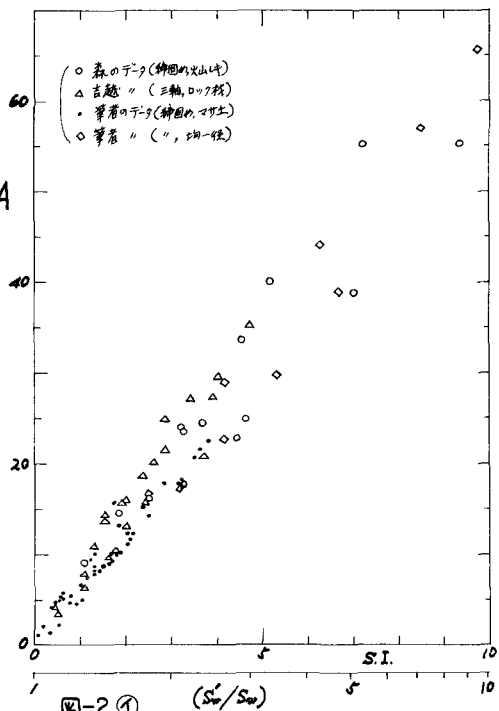


図-2 (4)

締固め、マサ土)の資料とともに調べた結果である。これらの図から、著者の S.I. と比較的よい相関性が認められるものは、点系では I と BM, 面系の A, それに点一面系の TB と G.N. である。しかし、BM は S.I. の大きい範囲でチラバリが激しく、TB 及び G.N. は前述した点系の影響を含むため前者ではチラバリ幅が広くばつかり後者では上に凸な傾向が伺える。

4 結び 線形学的な観点から各種破碎量を点系、線系、面系、および点一面系の4つに分類できることを示したが、満足なものとは思っていない。また、破碎量間の相関性を調べたところ、土の種類や試験条件などとのちがいにもかかわらず、粒子表面積に因する破碎量 S.I. と四形の面積 A の間に緊密な関係があることが知られた。

参考文献 ⑩ 福本(1971): 粒子破碎量の基礎法に関する考察, 第6回国土工学研究発表会講演集.

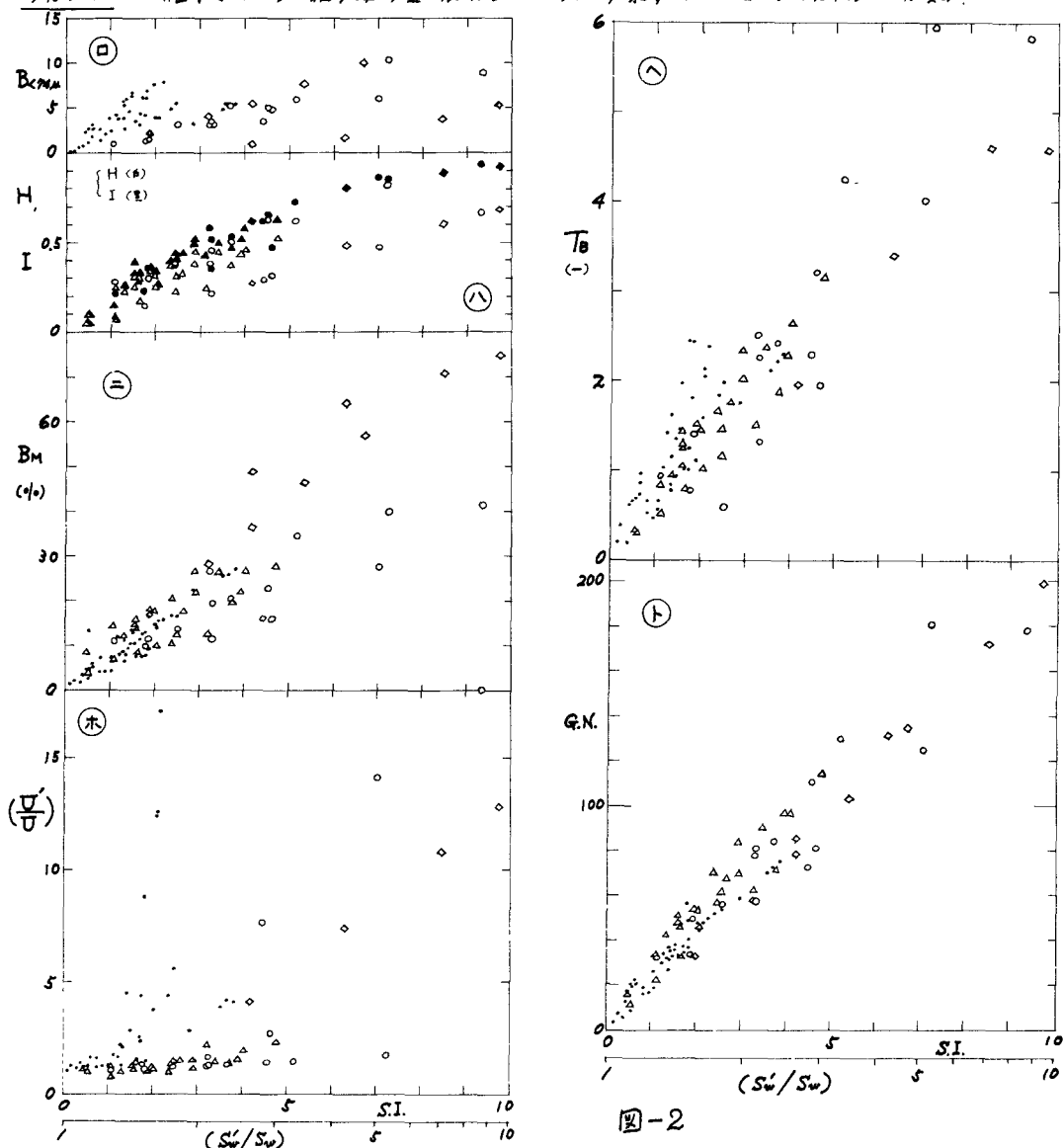


図-2